

都市内高速道路における統計的制御の効果

信州大学工学部 正員 奥谷 崑
信州大学工学部 学生員 ○瀬中 拓郎

1. まえがき 近年、都市内高速道路の交通需要が増大し、交通事故の発生による高速道路の機能低下がみられるようになつた。これを回避するためには、ダイナミックシステムの統計的制御の概念を導入した流入交通制御方法を既に発表していゝが、今回は、流入ランプにおけるシミュレーションを行い、具体的にそれを用い、その効果を検討した。

2. 流入ランプにおける交通変量の相互関係

まず、図-1のように、流入ランプにおいて、交通需要量 $\tilde{x}_j(t)$ 、交通密度 $\tilde{x}_j^1(t)$ 、および、流入交通量 $\tilde{x}_j^2(t)$ と交通容量 $y_j(t)$ の間にどのような関係があるのか、シミュレーションを実行し、重回帰分析によることで相互の関係式を求めた。その結果得られたのが次のようないくつかの関係式である。なお、交通需要量 $\tilde{x}_j(t)$ は複合ホーリン分布によって与えられ、また、容量 $y_j(t)$ は、流入ランプに設けられた信号のパラメーターを操作することによって可変としむ。

$$\tilde{x}_j^1(t) = \sum_{m=1}^M \tilde{a}_j^1(m) \tilde{x}_j^1(t-m) + \tilde{U}_j^1 + \tilde{\xi}_j^1(t) \quad (1)$$

$$\tilde{x}_j^2(t) = \sum_{m=1}^M \{\tilde{a}_j^2(m) \tilde{x}_j^1(t-m) + \tilde{a}_j^{21}(m) \tilde{x}_j^2(t-m) + \tilde{a}_j^{22}(m) \tilde{x}_j^3(t-m) + \tilde{b}_j^2(m) y_j(t-m)\} + \tilde{U}_j^2 + \tilde{\xi}_j^2(t) \quad (2)$$

$$\tilde{x}_j^3(t) = \sum_{m=1}^M \{\tilde{a}_j^{31}(m) \tilde{x}_j^1(t-m) + \tilde{a}_j^{32}(m) \tilde{x}_j^2(t-m) + \tilde{a}_j^{33}(m) \tilde{x}_j^3(t-m) + \tilde{b}_j^3(m) y_j(t-m)\} + \tilde{U}_j^3 + \tilde{\xi}_j^3(t) \quad (3)$$

(1),(2),(3)式をそれぞれ $j=1, 2, \dots, n$ についてまとめ、それらをまとめたマトリックス表示すると、

$$\tilde{x}(t) = \sum_{m=1}^M \tilde{A}(m) \tilde{x}(t-m) + \sum_{m=1}^M \tilde{B}(m) y(t-m) + \tilde{U} + \tilde{\xi}(t) \quad (4)$$

ここで、

$$\tilde{x}(t) = \begin{bmatrix} \tilde{x}_1(t) \\ \tilde{x}_2(t) \\ \vdots \\ \tilde{x}_n(t) \end{bmatrix}, \quad \tilde{A}(m) = \begin{bmatrix} \tilde{a}_1^1(m) & 0 & \cdots & 0 \\ 0 & \tilde{a}_2^1(m) & \cdots & 0 \\ \vdots & \vdots & \ddots & \vdots \\ 0 & 0 & \cdots & \tilde{a}_n^1(m) \end{bmatrix}, \quad \tilde{B}(m) = \begin{bmatrix} \tilde{b}_1^1(m) & 0 & \cdots & 0 \\ 0 & \tilde{b}_2^1(m) & \cdots & 0 \\ \vdots & \vdots & \ddots & \vdots \\ 0 & 0 & \cdots & \tilde{b}_n^1(m) \end{bmatrix}, \quad y(t) = \begin{bmatrix} y_1(t) \\ y_2(t) \\ \vdots \\ y_n(t) \end{bmatrix}, \quad \tilde{a}_j^1 = \begin{bmatrix} \tilde{a}_j^1(1) & 0 & \cdots & 0 \\ 0 & \tilde{a}_j^1(2) & \cdots & 0 \\ \vdots & \vdots & \ddots & \vdots \\ 0 & 0 & \cdots & \tilde{a}_j^1(n) \end{bmatrix}$$

$$\tilde{x}_j(t) = \begin{bmatrix} \tilde{x}_j^1(t) & \tilde{x}_j^2(t) & \tilde{x}_j^3(t) \end{bmatrix}^T, \quad \tilde{U} = \begin{bmatrix} \tilde{U}_1 & \tilde{U}_2 & \cdots & \tilde{U}_n \end{bmatrix}^T$$

$$\tilde{B}_j = \begin{bmatrix} 0 & \tilde{b}_j^2 & \tilde{b}_j^3 \end{bmatrix}, \quad \tilde{B}(t) = \begin{bmatrix} \tilde{b}_1^1(t) & \tilde{b}_2^1(t) & \cdots & \tilde{b}_n^1(t) \\ \tilde{b}_1^2(t) & \tilde{b}_2^2(t) & \cdots & \tilde{b}_n^2(t) \\ \vdots & \vdots & \ddots & \vdots \\ \tilde{b}_1^3(t) & \tilde{b}_2^3(t) & \cdots & \tilde{b}_n^3(t) \end{bmatrix}^T$$

3. リンク及び流入ランプにおける交通変量の相互関係

M時刻前までの流入交通量と予測に用いるすべてのリンク交通量により、次の時刻のリンク交通量を多重自己回帰分析により予測する。時刻七の、リンクjのリンク交通量は次のようになります。

$$x_j(t) = \sum_{k=1}^n \sum_{m=1}^M \tilde{a}_{jk}^k(m) \tilde{x}_k^3(t-m) + \sum_{k=1}^n \sum_{m=1}^M \tilde{a}_{jk}^{k1}(m) x_k(t-m) + \tilde{U}_j + \tilde{\xi}_j(t) \quad (5)$$

(5)式を $j=1, 2, \dots, n$ についてまとめ、マトリックス表示すると、

$$x(t) = \sum_{m=1}^M A_1(m) \tilde{x}(t-m) + \sum_{m=1}^M A_2(m) x(t-m) + \tilde{U} + \tilde{\xi}(t) \quad (6)$$

ここで、

$$x(t) = \begin{bmatrix} x_1(t) \\ x_2(t) \\ \vdots \\ x_n(t) \end{bmatrix}, \quad A_1(m) = \begin{bmatrix} \tilde{a}_{11}^1(m) & 0 & \cdots & 0 \\ 0 & \tilde{a}_{21}^1(m) & \cdots & 0 \\ \vdots & \vdots & \ddots & \vdots \\ 0 & 0 & \cdots & \tilde{a}_{n1}^1(m) \end{bmatrix}, \quad A_2(m) = \begin{bmatrix} \tilde{a}_{12}^1(m) & 0 & \cdots & 0 \\ 0 & \tilde{a}_{22}^1(m) & \cdots & 0 \\ \vdots & \vdots & \ddots & \vdots \\ 0 & 0 & \cdots & \tilde{a}_{n2}^1(m) \end{bmatrix}, \quad \tilde{a}_{jk}^1 = \begin{bmatrix} \tilde{a}_{j1}^1(1) & 0 & \cdots & 0 \\ 0 & \tilde{a}_{j2}^1(2) & \cdots & 0 \\ \vdots & \vdots & \ddots & \vdots \\ 0 & 0 & \cdots & \tilde{a}_{jn}^1(n) \end{bmatrix}$$

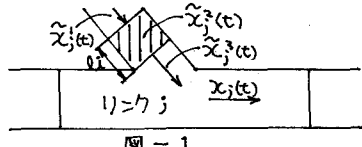


図-1

$\tilde{x}_j^1(t)$: 時刻七へ流入ランプjの交通需要量.

$\tilde{x}_j^2(t)$: " " 交通密度.

$\tilde{x}_j^3(t)$: " " からリンクjへの

流入交通量.

$x_j(t)$: 時刻七のリンクjの交通量.

b_j : 流入ランプjのランプj. n: 総リンク数

$$\alpha_i^2 = \sum_{m=1}^M [a_1^{2^1(m)} \cdots a_i^{2^k(m)} \cdots a_n^{2^n(m)}], \quad \xi(t) = \sum_{m=1}^M [\xi_1^1(t) \xi_2^2(t) \xi_3^3(t) \cdots \xi_k^k(t) \xi_j^j(t) \cdots \xi_n^n(t)]^\top$$

ここで、(4),(6)式を結合すると次式が得られる。

$$X(t) = \sum_{m=1}^M A(m) X(t-m) + \sum_{m=1}^M B(m) Y(t-m) + U + \varepsilon(t) \quad (7)$$

$$\text{ここで}, \quad X(t) = \begin{bmatrix} \overset{\leftrightarrow}{\underset{3n}{\Xi(t)}} \\ \vdots \\ \underset{n}{\Xi(t)} \end{bmatrix}, \quad A(m) = \begin{bmatrix} \overset{\leftrightarrow}{\underset{3n}{\widehat{A}(m)}} & \overset{\leftrightarrow}{\underset{n}{0}} \\ \vdots & \vdots \\ \underset{n}{\widehat{A}_1(m) \widehat{A}_2(m)} & \underset{n}{0} \end{bmatrix}, \quad B(m) = \begin{bmatrix} \overset{\leftrightarrow}{\underset{3n}{\widehat{B}(m)}} & \overset{\leftrightarrow}{\underset{n}{0}} \\ \vdots & \vdots \\ \underset{n}{0} & \underset{n}{0} \end{bmatrix}, \quad Y(t) = \begin{bmatrix} \overset{\leftrightarrow}{\underset{n}{Y(t)}} \\ \vdots \\ \underset{n}{0} \end{bmatrix}, \quad U = \begin{bmatrix} \overset{\leftrightarrow}{\underset{3n}{U}} \\ \vdots \\ \underset{n}{0} \end{bmatrix}, \quad \varepsilon(t) = \begin{bmatrix} \overset{\leftrightarrow}{\underset{3n}{\Xi(t)}} \\ \vdots \\ \underset{n}{\Xi(t)} \end{bmatrix}$$

$$\text{いま}, \quad \Xi_{R+i}(t) = \sum_{i=1}^{M-R} A(R+i) X(t-i) + \sum_{i=1}^{M-R} B(R+i) Y(t-i) \quad (8)$$

とおき、 $\Xi_0(t) = X(t)$ とすると、

$$Z_t = \Psi Z_{t-1} + \Gamma Y_{t-1} + U_t \quad (9) \quad X(t) = H Z_t \quad (10)$$

$$\text{ここで}, \quad \Psi = \begin{bmatrix} \overset{\leftrightarrow}{\underset{3n}{\Xi(1) \Xi(2) \Xi(3)}} & \overset{\leftrightarrow}{\underset{3n}{0 \cdots 0}} \\ \vdots & \vdots \\ \underset{n}{\Xi(M) 0 \cdots 0} & \underset{n}{0 \cdots 0} \end{bmatrix}, \quad Z_t = \begin{bmatrix} \overset{\leftrightarrow}{\underset{3n}{\Xi_0(t) \Xi_1(t) \cdots \Xi_{M-1}(t)}} \\ \vdots \\ \underset{n}{0 \cdots 0} \end{bmatrix}^\top, \quad \Gamma = \begin{bmatrix} \overset{\leftrightarrow}{\underset{3n}{B(1) B(2) \cdots B(M-1) B(M)}} \end{bmatrix}^\top, \quad U_t = \begin{bmatrix} U + \varepsilon(t) \\ \vdots \\ 0 \end{bmatrix}, \quad Y_t = Y(t), \quad H = [I \ 0 \ 0 \ \cdots \ 0]$$

4. 総所要時間の最小化

高速道路における制御の目的は、総所要時間を最小にすることにある。そこで目的関数を J_T として $t=1 \sim T$ までの総所要時間をとることにし、走行時間関数を $C_j(x)$ とすると、

$$J_T = \sum_{t=1}^T \sum_{j=1}^n \{x_j(t) C_j(x_j(t)) + \tilde{x}_j^2(t) l_j\} \Delta t \quad (11)$$

となり、この J_T を最小にする $X(t)$ を求めればよりことがわかる。ここで、 $x_j^0(t)$ を一週間前のリンクの時刻 t における交通量とし、 $C_j(x_j(t))$ をテイラー展開して 2 次以上の項を無視すると、

$$J'_T = \sum_{t=1}^T \Psi(t) Z_t \quad (12)$$

$$\text{ここで}, \quad \Psi(t) = [L_1 \ L_2 \ \cdots \ L_n \ \alpha_1(t) \ \alpha_2(t) \ \cdots \ \alpha_n(t) \ 0 \ 0 \ \cdots \ 0], \quad \alpha_j(t) = C_j(x_j^0(t)) + x_j^0(t) C'_j(x_j^0(t)), \quad L_j = [0 \ l_j \ 0]$$

(12)式に(9)式を代入して、 J'_T を最小化していって、一般に時刻 $(t-1)$ のときの最適解は、

$$y_j(t-1) = \begin{cases} \eta_j(t-1) & (\tilde{\theta}_j(t) \leq 0 \text{ のとき}) \\ \xi_j(t-1) & (\tilde{\theta}_j(t) > 0 \text{ のとき}) \end{cases} \quad (t=1, 2, \dots, T)$$

$$\text{ただし}, \quad \tilde{\theta}_j(t) = \tilde{\Psi}(t) \Gamma, \quad \tilde{\Psi}(t) = \tilde{\Psi}(t+1) \Psi + \Psi(t), \quad \tilde{\Psi}(T) = \Psi(T)$$

また、 $\eta_j(t-1)$ と $\xi_j(t-1)$ は、 $y_j(t-1)$ の上下限値である。

5. 高速道路のシミュレーション

図-2 のような高速道路のモデルを想定して、シミュレーションを行う。流入ランプ長、リンクの長さは

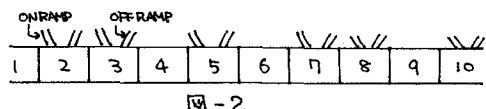


図-2

データとして与える。流入ランプからの発生については、5 分間交通量を与え、前述のように複合ボアソン分布に従うものとする。ランプ間のドロップ率 P_d については、一定時間間隔ごとに変わるように与える。高速道路にひととおり交通が行きわたるまで初期のシミュレーションを行い、定常な状態に達した時刻から、本格的なシミュレーションを開始する。このシミュレーションによって求めた、ランプの密度及びリンク交通量による理論的効果を確かめる。なお、交通流モデルとしては、高次交通流モデルの一つである Payne モデルを使用した。結果については当日発表するものとする。

参考文献

- 奥谷巖 / 渡中拓郎; 「都市高速道路の統計的交通制御に関する基礎的研究」日本OR学会秋季研究発表会アカーディ集, 1983